

3,5-二氯水杨醛缩罗丹明B酰腙的合成及对Cu²⁺高选择性识别

冯泳兰^{*1} 方敬贤¹ 刘超¹ 伍徐孟² 许猛¹

蒋伍玖¹ 庾江喜¹ 谭宇星¹ 尹代治¹

(¹衡阳师范学院化学与材料科学学院,功能金属有机材料湖南省普通高等学校重点实验室,衡阳 421008)

(²湘南学院化学与生命科学系,郴州 423043)

摘要:设计合成了一种可逆的Cu²⁺比色探针3,5-二氯水杨醛缩罗丹明B酰腙(L),采用IR、¹H NMR、¹³C NMR、元素分析和X射线单晶衍射对其结构进行了表征。利用紫外-可见吸收光谱考察了探针对金属离子的识别性能,实验结果表明,探针L在乙腈/鸟洛托品(pH 5.6)缓冲体系中,当加入Cu²⁺后,溶液从无色变为玫瑰红色,而加入其它金属离子,溶液颜色几乎无变化,可实现3,5-二氯水杨醛缩罗丹明B酰腙探针对Cu²⁺高灵敏、专一显色响应,最低检测限达到了9.30×10⁻⁸ mol·L⁻¹。

关键词:3,5-二氯水杨醛缩罗丹明B酰腙;晶体结构;铜离子;识别

中图分类号:O614.121 **文献标识码:**A **文章编号:**1001-4861(2016)01-0056-07

DOI:10.11862/CJIC.2016.006

3,5-Dichlorosalicylaldehyde-o-rhodamine B Hydrazone: Synthesis and Highly Selective Recognition for Cu²⁺

FENG Yong-Lan^{*1} FANG Jing-Xian¹ LIU Chao¹ WU Xu-Meng² XU Meng¹
JIANG Wu-Jiu¹ YU Jiang-Xi¹ TAN Yu-Xing¹ KUANG Dai-Zhi¹

(¹Department of Chemistry and Material Science, Key Laboratory of Functional Organometallic Materials of Hunan Provincial College; Hengyang Normal University, Hengyang, Hunan 421008, China)

(²Department of Chemistry and Life Science, Xiangnan University, Chenzhou, Hunan 423043, China)

Abstract: A novel colorimetric probe, 3,5-dichlorosalicylaldehyde-o-rhodamine B hydrazone (L), for Cu²⁺ was designed, synthesized. Its structure was characterized with IR, ¹H NMR, ¹³C NMR, elemental analysis and X-ray crystal diffraction. The binding property of the probe with Cu²⁺ was examined by UV-Vis spectroscopy. The result showed in acetonitrile/methenamine (pH 5.6) buffer system, when Cu²⁺ was added to the solution of 3,5-dichlorosalicylaldehyde-o-rhodamine B hydrazone, a dramatic color change from colorless to rose red was observed, while the other metal ions did not cause noticeable changes, which indicates that 3,5-dichlorosalicylaldehyde-o-rhodamine B hydrazone had a high sensitivity single selectivity colorimetric recognition for Cu²⁺. The detection limit for Cu²⁺ was 9.30×10⁻⁸ mol·L⁻¹ by UV-Vis spectroscopy.

Keywords:3,5-dichlorosalicylaldehyde-o-rhodamine B hydrazone; crystal structure; copper ion; recognition

收稿日期:2015-06-29。收修改稿日期:2015-10-04。

湖南省自然科学基金(No.13JJ3112)、湖南省高校创新平台开放基金(No.13K105)和湖南省普通高校功能金属有机材料重点实验室开放基金(No.13K01)资助项目。

*通信联系人。E-mail:hnhyyl@163.com

铜及其化合物和合金广泛应用于工业、农业、国防和医药,铜也是人体内一种非常重要的微量元素^[1-2],但生命体内超量的铜有害^[3-5],影响人类的健康和动植物的繁衍生存。随着科技的进步,工业化进程的推进,铜又造成对环境严重的重金属污染,检测环境中铜离子含量已成为环境检测中的一项重要指标;因此,建立对环境中铜离子简便、快速、准确地监测方法具有十分重要的现实意义,一直也是化学工作者高度关注的领域。检测铜离子的方法主要有电化学分析法^[6]、电感耦合等离子体质谱法^[7]、原子吸收光谱法^[8]、荧光光谱法^[9]、分光光度法^[10]等。

在众多检测铜离子方法中,因分光光度法仪器廉价、操作简便、分析快速和成本低等特点受到分析工作者的青睐^[11]。

罗丹明B衍生物具有良好的水溶性,吸收波长位于可见光区,摩尔吸光系数大,是一种良好的金属离子探针的发色团,当罗丹明衍生物中加入重金属离子时,能从闭环内酰胺状态转变为开环酰胺状态,导致溶液颜色的改变,实现对金属离子的可视检测^[12-13]。表1列出了紫外可见光度法中环境保护行业标准(HJ 485-2009,HJ 486-2009)和罗丹明衍生物用于环境水中测定铜的方法。

表1 不同试剂用于环境水中Cu²⁺测定结果(紫外可见光度法)

Table 1 Different reagents for the measurement results for Cu²⁺ in environmental water (UV-Visible spectroscopy)

No.	Color reagent	Measuring system	Detecting range / (μmol·L ⁻¹)	Detection limit / (mol·L ⁻¹)
1	Diethyldithiocarbamate	CCl ₄	0.63~94	1.6×10 ⁻⁷
2	Neocuproine	H ₂ O	1.9~20	4.7×10 ⁻⁷
		CHCl ₃	1.3~50	3.1×10 ⁻⁷
3 ^[14]	5-Nitrosalicylaldehyde-o-rhodamine B hydrazone	HEPES/CH ₃ CN (1:1, V/V)	5~15	1.29×10 ⁻⁷
4 ^[15]	5-Chlorosalicylaldehyde-o-rhodamine B hydrazone	CH ₃ OH/CH ₃ CN (1:1, V/V)	1~10	—
5 ^[16]	Rhodamine B hydrazide-o-ethylenediamine derivative	HEPES (5 mmol·L ⁻¹)	0~10	2.70×10 ⁻⁷
6 ^[17]	Rhodamine B hydride ethyl 5-formyl-1H-pyrrole-2-carboxylate schiff base	30% CH ₃ CN/Tris-HCl	0.1~6	1.2×10 ⁻⁸
7	3,5-Dichlorosalicylaldehyde-o-rhodamine B hydrazone	CH ₃ CN/Urotropine-HCl (1:1, V/V)	0.5~10	9.3×10 ⁻⁸

1 实验部分

1.1 仪器和试剂

IR用日本岛津Prestige-21红外光谱仪(4 000~400 cm⁻¹,KBr压片)测定;¹H和¹³C NMR用瑞士Bruker AVANCE-400核磁共振仪(TMS内标)测定;元素分析用美国PE-2400(II)元素分析仪测定;晶体结构用Bruker SMART APEX II CCD单晶衍射仪

测定;紫外-可见光谱用日本岛津UV-2550光谱仪测定;酸度用上海雷磁PHS-3C酸度计测定;熔点用北京泰克X-4双目体视显微熔点测定仪测定(温度计未经校正)。

硝酸、盐酸为优级纯,金属或金属离子试剂均为高纯试剂,乙腈为色谱纯,其他试剂为分析纯,实验用水为二次蒸馏水。

1.2 合成

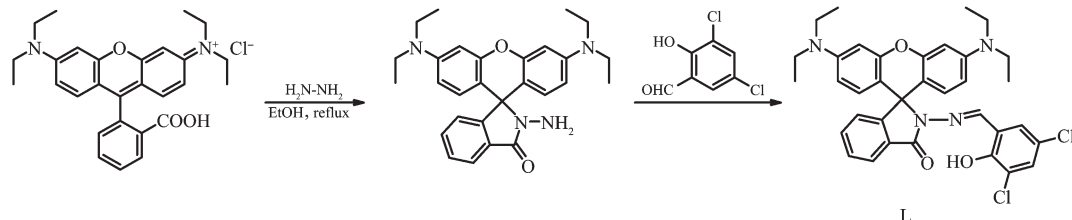


图1 探针L的合成线路图

Fig.1 Synthesis of Probe L

1.2.1 罗丹明B酰肼的合成

参考文献^[18-19]方法,在250 mL三口烧瓶中,加入9.58 g(10 mmol)罗丹明B和120 mL乙醇,混匀后,滴加24 mL一水合肼,搅拌回流2 h。反应完成后,旋转蒸发部分溶剂,用1 mol·L⁻¹的NaOH溶液调节溶液pH值为9~10,析出红色固体,抽滤,用少量蒸馏水洗涤,干燥,得桃红色粉末6.94 g,产率76%。m.p. 296~297 °C(dec)。元素分析(C₂₈H₃₄N₄O₂)实测值(计算值)%:C,72.99 (73.33);H,7.51(7.47);N,12.76(12.22)。IR(KBr,cm⁻¹):2 972(w),2 365(w),1 693(m),1 612(s),1 547(m),1 513(vs),1 467(m),1 426(m),1 398(w),1 374(w),1 358(m),1 327(w),1 302(w),1 216(s),1 116(vs),818(m),786(m),757(m),698(m)。¹H NMR(CDCl₃,400 MHz):δ 7.93(m,1H,Ar-H),7.48(m,2H,Ar-H),7.10 (m,1H,Ar-H),6.45 (t,J=8.4 Hz,2H,Xanthene-H),6.42(s,2H,Xanthene-H),6.30(d,J=8.0 Hz,2H,Xanthene-H),3.61 (s,2H,NH₂),3.45 (m,8H,N(CH₂CH₃)₂),1.17(t,J=8.5 Hz,12H,N(CH₂CH₃)₂)。¹³C NMR(CDCl₃,100 MHz):δ 166.09,153.88,151.57,148.96,132.41,130.09,128.06,128.01,123.81,122.94,108.18,104.87,98.12,66.00,44.43,12.60。

1.2.2 3,5-二氯水杨醛缩罗丹明B酰肼的合成

在50 mL圆底烧瓶中,加入0.457 g(1 mmol)罗丹明B酰肼、0.191 g (1 mmol)3,5-二氯水杨醛、25 mL无水乙醇,搅拌回流8 h,待反应完成后,旋转蒸发溶剂,析出固体,用甲醇重结晶。得到淡黄色晶体0.453 g,产率72%。m.p. 203~206 °C。元素分析(C₃₅H₃₄Cl₂N₄O₃)实测值(计算值)%:C,66.71(66.77);H,5.49(5.44);N,8.99(8.90)。IR(KBr,cm⁻¹):3 358(m),2 965(m),2 872(m),2 358(m),1 708(m),1 651(w),1 515(w),1 429(m),1 377(m),1 238(w),1 134(s),1 091(s),1 047(vs),995(s),880(m),808(m),661(m)。¹H NMR(CDCl₃,400 MHz):δ 11.47 (s,1H,phen-OH),8.82(s,1H,N=C-H),7.98 (d,J=7.2 Hz,1H,Ar-H),7.54~7.48(m,2H,Ar-H),7.14 (d,J=7.2 Hz,1H,Ar-H),7.24(s,1H,phen-H),6.94 (s,1H,phen-H),6.47 (d,J=8.4 Hz,2H,Xanthene-H),6.47(s,2H,Xanthene-H),6.26(d,J=8.8 Hz,2H,Xanthene-H),3.33(q,J=7.2 Hz,8H,-N(CH₂CH₃)₂),1.16(t,J=7.2 Hz,12H,-N(CH₂CH₃)₂)。¹³C NMR(CDCl₃,100 MHz):δ 164.48,153.29,152.92,151.35,149.23,148.91,133.78,130.56,128.84,128.75,128.55,127.87,124.06,123.46,123.17,122.30,120.32,108.33,104.87,98.23,66.28,44.33,12.56。

1.3 晶体结构测定

选取尺寸为0.20 mm×0.20 mm×0.18 mm的探针L晶体,在Bruker SMART APEX II CCD单晶衍射仪上,采用经石墨单色化的Mo K α 射线($\lambda=0.071\text{073 nm}$),以 $\varphi\sim\omega$ 扫描方式收集衍射数据。化合物L在1.82°~25.10°范围内共收集16 347个衍射点,其中独立衍射点5 641个($R_{\text{int}}=0.025\text{ 2}$),用于结构精修的可观察衍射点4 585个($I>2\sigma(I)$)。全部数据经Lp因子和多重扫描吸收校正。晶体结构由直接法解出,全部非氢原子坐标在随后的差值傅立叶合成中陆续确定。对非氢原子坐标及其各向异性热参数用SHELXL^[20]进行全矩阵最小二乘法修正至收敛。氢原子为理论加氢并采用“跨式(riding model)模型”进行修正。

CCDC:1053264,L。

1.4 溶液的配制及样品的前处理

探针L储备液(1 mmol·L⁻¹):称取0.031 5 g探针L,用DMF溶解,定容至50 mL。

乙腈-乌洛托品缓冲溶液(约0.05 mol·L⁻¹):称取0.7 g乌洛托品,用水稀释至约50 mL,用浓盐酸调pH值至5.6,再加入50 mL乙腈混匀(该溶液现用现配)。

Cu²⁺标准液(1 mmol·L⁻¹):称取0.124 8 g CuSO₄·5H₂O溶解于水中,并稀释至500 mL。

其它金属离子溶液(1 mmol·L⁻¹):Hg²⁺为汞单质经硝酸溶解配置,Sm³⁺为Sm₂O₃经盐酸溶解配置,Ca²⁺为CaCO₃经盐酸溶解配置,Mn²⁺、Fe²⁺为硫酸盐配置,其余均为硝酸盐或氯化物配置。

样品处理:湘江水样品取自衡阳市湘江东洲岛段,水样经普通抽滤,再经0.45 μm水系滤膜过滤,冷藏备用;自来水样品经0.45 μm水系滤膜过滤,冷藏备用。

1.5 测定方法

探针L对金属离子的识别测定:于10 mL比色管中依次加入100 μL 1 mmol·L⁻¹探针L、100 μL 1 mmol·L⁻¹不同金属离子标准液,用乙腈-乌洛托品缓冲溶液定容至5 mL,摇匀,放置10 min后,用1 cm石英比色皿,扫描吸收光谱(450~700 nm)。

样品测定:在10 mL比色管中依次加入50 μL 1 mmol·L⁻¹探针L、不同浓度的样品溶液,用乙腈-乌洛托品缓冲溶液定容至5 mL,摇匀,放置10 min后,用1 cm石英比色皿,于560 nm处,测定其吸光值。

2 结果与讨论

2.1 探针 L 的晶体结构分析

探针 L 的晶体学数据见表 2, 化合物的分子结构如图 2 所示, 从图中可以看出 C15、C13、C8、C14、N3 原子组成五元杂环, 说明探针 L 是以闭合螺环的形式存在; 3,5-二氯水杨醛酚羟基氧原子 O3 与 Schiff 碱部分中 C=N 双键中的 N4 原子形成分子内氢键, 形成一个由 N4、C7、C1、C2、O3 组成的六元环结构, 此六元环与 3,5-二氯水杨醛基苯环共平面, 且与氧蒽杂环接近垂直。

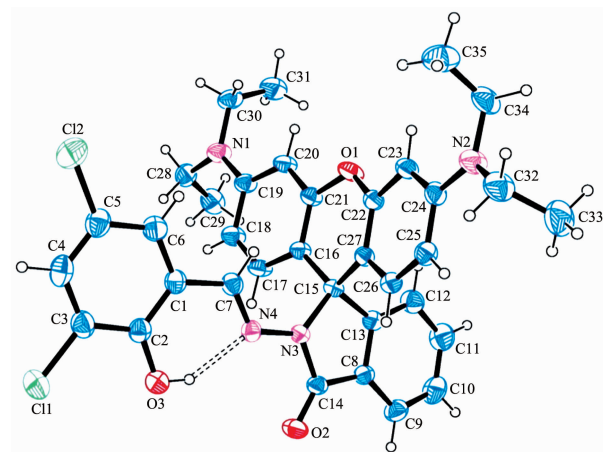


图 2 探针 L 的分子结构图(椭球率 30%)

Fig.2 Molecular structure of probe L with 30% probability ellipsoids

2.2 紫外-可见光谱实验条件的选择

实验考察了溶剂体系、pH 值及响应时间对探

针 L 识别 Cu²⁺的影响。在乙腈含量 20%~80%(体积分数)范围内, 探针 L 对 Cu²⁺产生较为稳定的吸收增强响应, 因此实验选择乙腈与缓冲液体积比为 1:1 进行测试。由图 3 可知, 在 560 nm 处, 探针 L 在 pH=3 左右存在较弱吸收, 在 pH>5 无明显吸收; 当加入 Cu²⁺后, 探针 L 在 560 nm 处的吸收显著增强, 且在 pH=5~6 吸收增强最大, 因此选择 pH 5.6(乌洛托品-盐酸缓冲体系)为最优 pH 值。在乙腈-乌洛托品(体积比 1:1)溶液中, 测试了探针 L(10 μmol·L⁻¹)对 Cu²⁺的响应时间, 如图 4 所示, 探针 L 识别 Cu²⁺的过程在 5 min 后达到稳定; 因此, 在紫外-可见光谱法研究中, 实验选择乙腈-乌洛托品(体积比 1:1)为溶剂体系, 加入金属离子 10 min 后记录光谱数据。

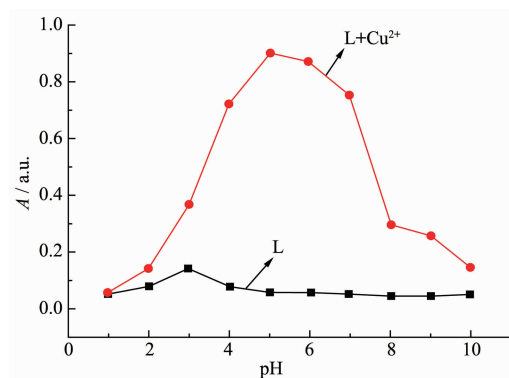


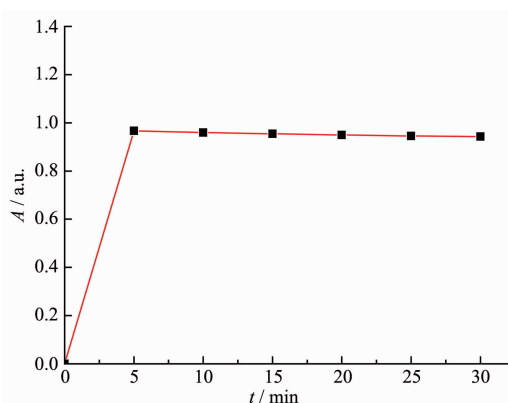
图 3 不同 pH 值下探针 L 对 Cu²⁺的识别(560 nm 处吸收)

Fig.3 Recognition of Cu²⁺ by L under different pH values (absorbance at 560 nm)

表 2 探针 L 的晶体学数据

Table 2 Crystallographic data of probe L

Empirical formula	C ₃₅ H ₃₄ Cl ₂ N ₄ O ₃	Absorption coefficient / mm ⁻¹	0.247
Formula weight	629.56	Limiting indices	-13 ≤ h ≤ 13, -14 ≤ k ≤ 14, -19 ≤ l ≤ 26
T / K	296(2)	Reflections collected, unique	16 347, 5 641 ($R_{\text{int}}=0.025$ 2)
Wavelength / nm	0.071 073	Absorption correction	Semi-empirical from equivalents
Crystal system	Orthorhombic	Completeness	1
Space group	P2 ₁ 2 ₁ 2 ₁	Max. and min. transmission	0.956 9 and 0.952 3
a / nm	1.171 74(7)	Refinement method	Full-matrix least-squares on F^2
b / nm	1.210 02(8)	Data, restraints, parameters	5 641, 0, 402
c / nm	2.235 13(13)	Goodness-of-fit on F^2	1.020
Volume / nm ³	3.169 0(3)	Final R indices [$I>2\sigma(I)$]	$R_1=0.034$ 8, $wR_2=0.080$ 6
Z	4	R indices (all data)	$R_1=0.047$ 8, $wR_2=0.087$ 7
D_c / (Mg·m ⁻³)	1.320	Absolute structure parameter	-0.01(6)
F(000)	1 320	$(\Delta\rho)_{\text{max}}, (\Delta\rho)_{\text{min}} / (\text{e} \cdot \text{nm}^{-3})$	336, -172

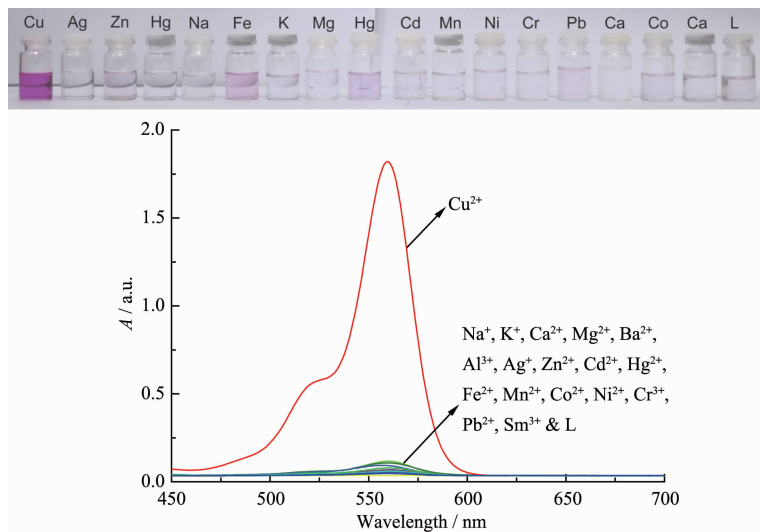
图 4 时间对探针 L 识别 Cu²⁺的影响(560 nm 处吸收)Fig.4 Time dependent absorbance changes of L with Cu²⁺ (absorbance at 560 nm)

2.3 探针 L 对 Cu²⁺的选择性识别

在 20 μmol·L⁻¹ 探针 L 的乙腈-乌洛托品(体积比 1:1) 溶液中分别加入 20 μmol·L⁻¹ 的不同金属离

子, 扫描其吸收光谱, 结果如图 5 所示。结果表明: 当未加金属离子时, 探针 L 基本为无色; 当加入 Cu²⁺后, 探针 L 显玫瑰红色, 在 560 nm 处吸光度明显增强; 当加入其他金属离子如: Na⁺, K⁺, Mg²⁺, Ba²⁺, Al³⁺, Ag⁺, Zn²⁺, Cd²⁺, Hg²⁺, Fe²⁺, Mn²⁺, Co²⁺, Ni²⁺, Cr³⁺, Pb²⁺, Sm³⁺, 探针 L 均无明显响应。

共存离子的影响是探针识别重要性质之一, 我们研究了金属离子共存下, 探针 L 对 Cu²⁺的识别, 结果显示, 当其他金属离子加入到探针 L 的乙腈-乌洛托品(体积比 1:1)溶液中时, 不会产生明显的吸收峰及颜色变化, 但是再向该体系中加入 Cu²⁺后, 在 560 nm 处, 吸光度明显增强, 溶液颜色也由无色变为玫瑰红色。这表明在共存离子干扰存在下, 探针 L 对 Cu²⁺的识别具有很强的抗干扰能力, 是一个高选择性的 Cu²⁺比色探针。

图 5 探针 L (20 μmol·L⁻¹) 中加入不同金属离子 (20 μmol·L⁻¹) 的紫外-可见吸收光谱Fig.5 Absorption spectra of probe L (20 μmol·L⁻¹) upon addition of various metal ions (20 μmol·L⁻¹)

2.4 探针 L 与 Cu²⁺的结合机理分析

Cu²⁺离子对探针 L 的紫外-可见吸收光谱滴定如图 6 所示。当不加 Cu²⁺时, 探针 L 主要以螺环形式存在, 溶液无色; 随着 Cu²⁺的加入, 吸光度在 560 nm 处逐渐增强, 证明探针 L 分子明显发生了开环, 溶液颜色也从无色变为玫瑰红色, 裸眼能定性分辨出溶液中是否含有 Cu²⁺。

由图 6 内插图(a)可以看出, 在对探针 L 滴定中, Cu²⁺在与 L 等量时达到饱和吸光度, 推测其配位比 1:1。为进一步确定探针 L 与 Cu²⁺的结合比, 进行了等物质的量连续变化(Job's plot)法实验。如图 7

所示, 在固定探针 L 与 Cu²⁺总浓度为 10 μmol·L⁻¹ 条件下, 测得探针 L 与 Cu²⁺在物质的量之比为 0.5 处出现最大吸收值, 表明探针 L 与 Cu²⁺的结合比为 1:1, 探针 L 与 Cu²⁺的结合常数 K_a 可由 Benesi-Hildebrand 方程^[21-22]确定:

$$\frac{1}{A - A_0} = \frac{1}{K_a(A_{\max} - A)c_{Cu}} + \frac{1}{A_{\max} - A_0}$$

式中 A_0 和 A 分别为加入 Cu²⁺前后体系的吸光度, A_{\max} 为加入过量 Cu²⁺时 L 的饱和吸光度。如图 6 内插图(b)所示, $1/(A - A_0)$ 与 $1/c_{Cu}$ 存在良好的线性关系, 线性系数 $r=0.9995$, 这进一步表明探针 L 与 Cu²⁺的

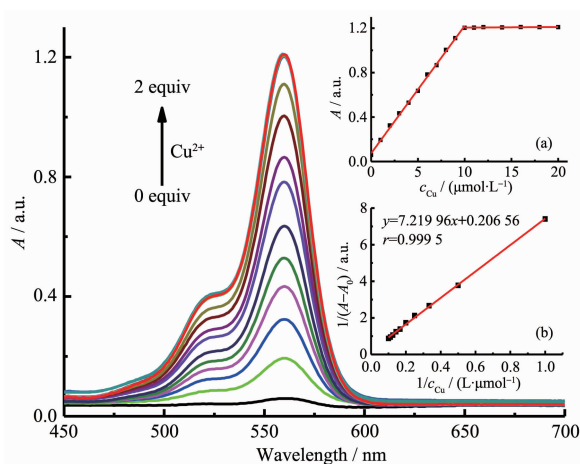


图6 乙腈-乌洛托品(1:1, V/V)溶液中Cu²⁺对探针L (10 μmol·L⁻¹)的紫外-可见光谱滴定

Fig.6 UV-Vis spectra changes of probe L (10 μmol·L⁻¹) upon the addition of different amounts of Cu²⁺ in acetonitrile-methenamine (1:1, V/V)

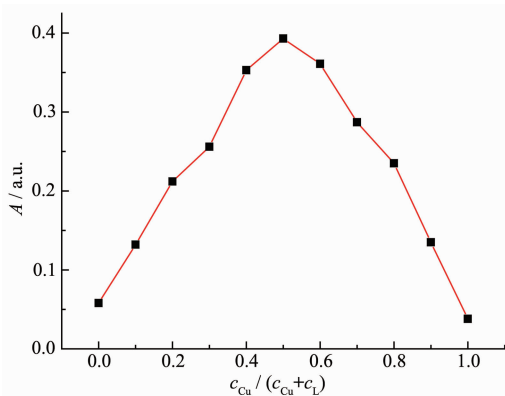


图7 探针L与Cu²⁺作用的Job曲线 (c_{Cu}+c_L=10 μmol·L⁻¹)

Fig.7 Job's plot of L with Cu²⁺ (c_{Cu}+c_L=10 μmol·L⁻¹)

结合比为1:1,由拟合曲线的截距与斜率的比值计算得出结合常数K_a=2.86×10⁴ L·mol⁻¹。

2.5 探针L对Cu²⁺的可逆性实验

实际应用中,探针重复使用十分重要,可逆性试验是推断探针与金属离子反应模式的一种重要方法。如图8所示,在探针L(10 μmol·L⁻¹)的乙腈-乌洛托品(体积比1:1)溶液中加入等量Cu²⁺(10 μmol·L⁻¹)后,在560 nm附近产生强的吸收带;当加入等量EDTA(乙二胺四乙酸二钠)后,吸收强度明显减弱;当体系中再加入等量的Cu²⁺时,在560 nm附近吸收带再次恢复,溶液又呈玫瑰红色,如此循环3次后,探针L的显色略有下降,但是灵敏

度依然较高。实验研究表明,探针L对Cu²⁺的识别过程是一可逆过程,结合文献^[12,17,23-26]的报道,推测其识别过程:探针L的羰基氧原子以及羟基与Cu²⁺发生配位,并诱导螺内酰胺开环,当加入EDTA后,Cu²⁺与EDTA配合并导致探针L螺内酰胺闭环,如图9所示。

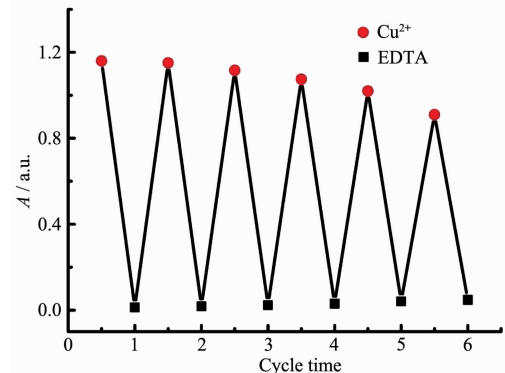


图8 探针L (10 μmol·L⁻¹)中循环加入Cu²⁺和EDTA的紫外-可见吸收光谱

Fig.8 Absorbance spectra of probe L (10 μmol·L⁻¹) alternating upon addition of Cu²⁺ and EDTA cycles

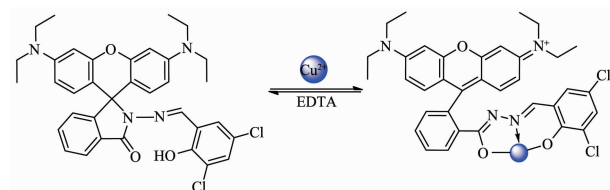


图9 探针L对Cu²⁺的识别机理

Fig.9 Mechanism of probe L recognizing Cu²⁺

2.6 线性范围与检出限

探针L测定Cu²⁺的工作曲线如图10所示,当Cu²⁺浓度在5×10⁻⁷~1×10⁻⁵ mol·L⁻¹范围时,其线性方

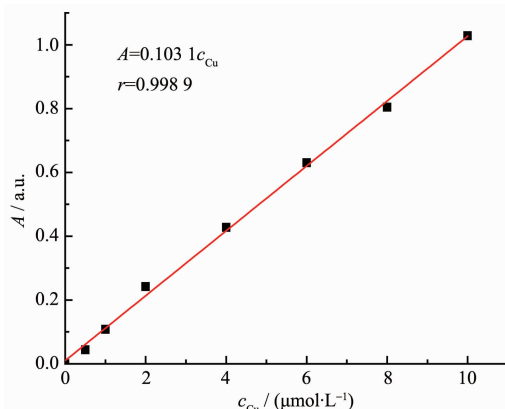


图10 探针L测定Cu²⁺的工作曲线

Fig.10 Working curve of probe L determining Cu²⁺

程为 $A=0.103\ 1$ [$c_{\text{Cu}}/(\mu\text{mol}\cdot\text{L}^{-1})$], $r=0.998\ 9$; 测定11次探针空白, 得标准偏差 $S=3.21\times 10^{-3}$, 以3倍标准偏差计算得检出限为 $9.3\times 10^{-8}\ \text{mol}\cdot\text{L}^{-1}$ 。

2.7 样品测定

分别取湘江水和自来水样品进行加标回收实

表3 样品分析结果

Table 3 Determination of Cu^{2+} in samples

Sample	Added c_{Cu} / ($\mu\text{mol}\cdot\text{L}^{-1}$)	Found c_{Cu} / ($\mu\text{mol}\cdot\text{L}^{-1}$)	Average recovery \bar{R} / %	RSD / % ($n=11$)
Xiangjiang River water	1.00	1.05	104.8	6.34
	4.00	4.02	100.4	1.78
	8.00	7.96	99.5	2.03
Tap water	4.00	4.01	100.2	1.30

3 结 论

合成了3,5-二氯水杨醛缩罗丹明B酰肼新探针(L), 利用紫外-可见光谱法可实现对水体中 Cu^{2+} 的检测。探针对 Cu^{2+} 的检出限为 $9.3\times 10^{-8}\ \text{mol}\cdot\text{L}^{-1}$, 当 Cu^{2+} 存在时, 溶液颜色从无色变为玫红色, 能实现裸眼定性识别环境水样中 Cu^{2+} 。本方法识别 Cu^{2+} 具有高选择性, 常见金属离子对检测无干扰。建立识别的新方法成功应用于湘江水及自来水中 Cu^{2+} 的检测, 回收率在 99.5%~104.8%之间, 方法简便、快捷、实用。

参考文献:

- [1] Uauy R, Olivares M, Gonzalez M. *J. Am. J. Clin. Nutr.*, **1998**, **67**:952-959
- [2] Blair B G, Larson C A, Adams P L, et al. *Mol. Pharmacol.*, **2011**, **79**(1):157-166
- [3] Muthaup G, Schlicksupp A, Hess L, et al. *Science*, **1996**, **271**:1406-1409
- [4] Bertinato J, Zouzoulas A. *J. AOAC Int.*, **2009**, **92**(5):1541-1550
- [5] Dan G, Zhengping D, Chao L, et al. *RSC Adv.*, **2014**, **4**:5718-5725
- [6] Ganjali M R, Aghabalaee S, Khoobi M, et al. *J. Electrochem. Sci.*, **2011**, **6**(1):52-62
- [7] Li Y F, Chen C Y, Li B. *J. Anal. At. Spectrom.*, **2006**, **21**:94-96
- [8] Wu C X, Wu Q H, Wang C, et al. *Chin. Chem. Lett.*, **2011**, **22**:473-476
- [9] Sangita A, Abhijit G, Sandip M, et al. *Dalton Trans.*, **2014**, **43**:7747-7751
- [10] ZHANG Hua(张华), XU Xiao-Wu(徐孝武), WU Fang-Ying (吴芳英). *Chinese J. Inorg. Chem.*(无机化学学报), **2013**, **29**(11):2394-2398
- [11] Wen X D, Yang Q L, Yan Z D, et al. *Microchem. J.*, **2011**, **97**:249-254
- [12] Ying Z, Fang W, Youngmee K, et al. *Org. Lett.*, **2009**, **11**(19):4442-4445
- [13] Li K, Xiang Y, Wang X, et al. *J. Am. Chem. Soc.*, **2014**, **136**(4):1643-1649
- [14] HU Ming-Ming(胡明明), FAN Jiang-Li(樊江莉), LI Hong-Lin(李宏林), et al. *Chin. J. Anal. Chem.*(分析化学), **2011**, **8**:1195-1200
- [15] Huo F, Su J, Sun Y, et al. *Dyes Pigm.*, **2010**, **86**(1):50-55
- [16] CHEN Bin(陈斌), DONG Hui-Juan(董惠娟), DU Jian-Jun (杜健军), et al. *Sci. China Chem.*(中国科学:化学), **2014**, **44**(09):1491-1498
- [17] LI Zi-Fan(李紫凡), MEI Ling(梅岭), XIANG Yu(向宇), et al. *Chin. J. Anal. Chem.*(分析化学), **2008**, **36**(7):915-919
- [18] Dujols V, Ford F, Czarnik Anthony W. *J. Am. Chem. Soc.*, **1997**, **119**(31):7386-7387
- [19] Yang X F, Guo X Q, Zhao Y B. *Talanta*, **2002**, **57**(5):883-890
- [20] Sheldrick G M. *SHELXTL*, Version 5.03, Siemens Analytical X-ray Division, Madison, WI, USA, **1994**.
- [21] Benesi H A, Hildebrand J H. *J. Am. Chem. Soc.*, **1949**, **71**(8):2703-2707
- [22] Wang B D, Hai J, Liu Z C, et al. *Angew. Chem. Int. Ed.*, **2010**, **49**(27):4576-4579
- [23] Jiang L, Wang L, Zhang B, et al. *Eur. J. Inorg. Chem.*, **2010**, **2010**(28):4438-4443
- [24] CHEN Yi(陈义), ZHANG Yan(张艳), ZENG Xi(曾晞), et al. *Chem. J. Chinese Universities*(高等学校化学学报), **2013**, **34**(7):1598-1605
- [25] Xiang Y, Tong A J, Jin P Y, et al. *Org. Lett.*, **2006**, **8**(13):2863-2866
- [26] CHEN Jia-Xuan(陈稼轩), TIAN Yi(田怡), XIANG Qing-Xiang(向清祥), et al. *Chin. J. Org. Chem.*(有机化学), **2012**, **32**(10):1930-1935